

## Anexos

### Anexo I

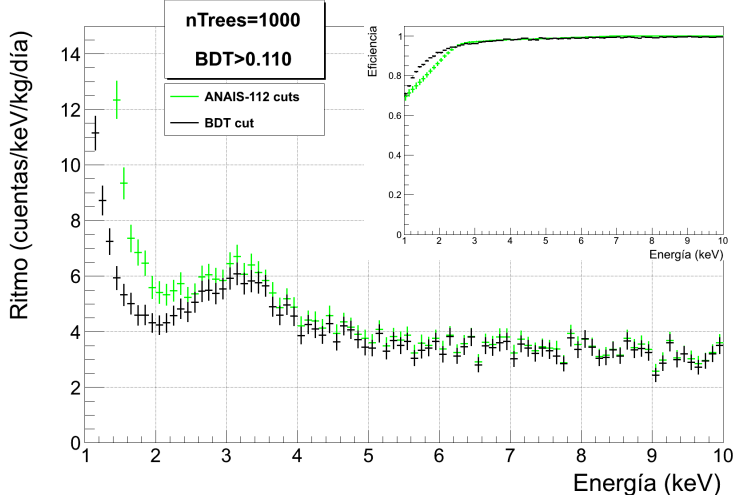


Figura 18: comparación del ritmo en el detector 0 en función de la energía tras aplicar el filtrado y la corrección por la eficiencia con el análisis estándar (en verde) y el análisis BDT con 1000 árboles y  $BDT>0.110$  (en negro). En el recuadro se representa la eficiencia para ambos casos.

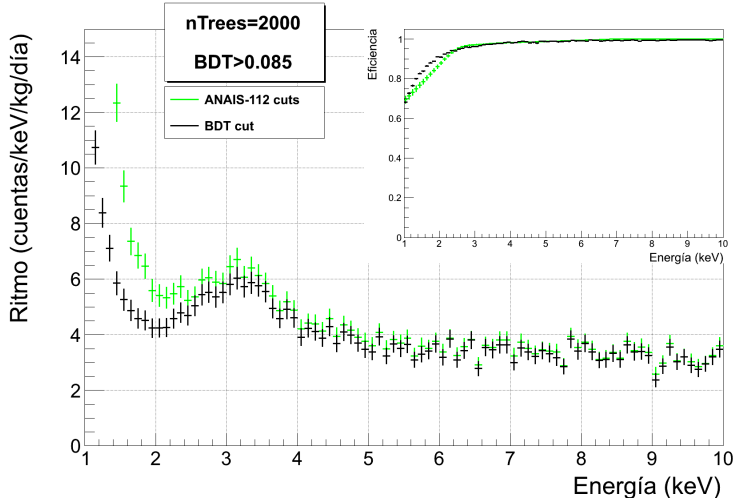


Figura 19: comparación del ritmo en el detector 0 en función de la energía tras aplicar el filtrado y la corrección por la eficiencia con el análisis estándar (en verde) y el análisis BDT con 2000 árboles y  $BDT>0.085$  (en negro). En el recuadro se representa la eficiencia para ambos casos.

## Anexo II

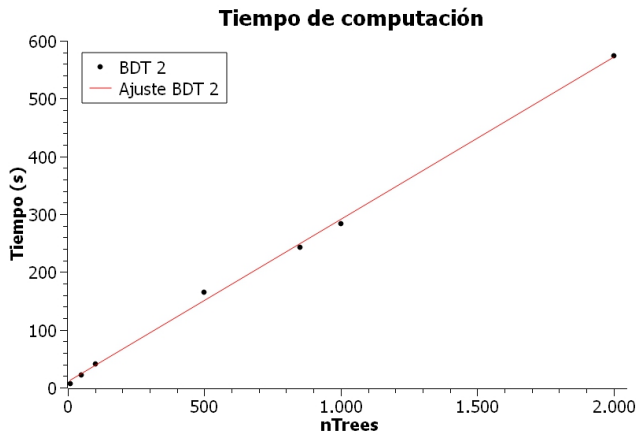


Figura 20: representación gráfica del comportamiento del tiempo de entrenamiento frente al número de árboles involucrado. En rojo se presenta un ajuste lineal realizado en *SciDavis* al que se adaptan adecuadamente todos los valores.

## Anexo III

Intervalo (keV)	Eficiencia ANAIS	Intervalo (keV)	Eficiencia ANAIS
1,0-1,1	0,2386	1,6-1,8	0,7382
1,1-1,2	0,3392	1,8-2,0	0,8111
1,2-1,3	0,4401	2,0-3,0	0,9296
1,3-1,4	0,5277	3,0-4,0	0,9749
1,4-1,6	0,6322	4,0-10,0	0,9950

Tabla 11: eficiencia dada por los métodos de corte de ANAIS en diferentes intervalos del espectro de energía del fondo.